



## بررسی سنگ‌شناسی و زمین‌شیمی دایک‌های غرب عقدا (یزد) با کاربرد شیمی کانی‌ها

محبوبه جمشیدی‌بدر<sup>۱</sup>، کاظم قلی‌زاده<sup>۲</sup>، مهدی محمدی<sup>۳</sup>

۱- گروه زمین‌شناسی، دانشگاه پیام نور، صندوق پستی ۴۶۹۷-۱۹۳۹۵، تهران، ایران

۲- گروه زمین‌شناسی اقتصادی، دانشگاه شهری بهشتی، تهران، ایران

۳- شرکت کاوش فن آور مانا، زنجان، ایران

(دریافت مقاله: ۹۸/۳/۲۷، نسخه نهایی: ۹۸/۷/۷)

**چکیده:** دایک‌های دیابازی غرب عقدا (استان یزد) در منطقه‌ی معدن بهرام‌تاج و در پهنه ساختاری ایران مرکزی بروند دارند. این دایک‌ها با رنگ خاکستری تیره در بین واحدهای سنگی آهک-دولومیت بروند داشته و در راستای گسل‌های شرقی-غربی منطقه غرب عقدا قرار دارند. پلازیوکلاز، بیوتیت، آمفیبیول و پیروکسن کانی‌های اصلی تشکیل دهنده این دایک‌ها هستند. پلازیوکلازها آندزین، بیوتیت‌های اغلب آهن‌دار ( $\text{FeO}: ۲۴.۲۷-۳۱.۵۷\%$ )، آمفیبیول‌ها از نوع مگنزیو‌هورنبلند و پیروکسن‌ها دارای ترکیب اوژیت ( $\text{En}_{0.50-0.58}, \text{Fs}_{0.14-0.22}, \text{Wo}_{0.25-0.31}$ ) هستند. دما و فشار تبلور دایک‌ها با روش‌های مختلف دما-فشارسنجی بیوتیت، آمفیبیول و کلینوپیروکسن بررسی شد که بیشترین دمای تبلور  $۱۱۵^{\circ}\text{C}$  درجه سانتی‌گراد و فشار کمتر از ۵ کیلوبار مشخص شده است. ماهیت ماقمای سازنده این دایک‌ها قلیایی است و گریزندگی اکسیژن طی تشکیل و تبلور کانی‌های سازنده آن‌ها زیاد است. از نظر جایگاه زمین ساختی، دایک‌های غرب عقدا در محیط کششی موضعی درون قاره‌ای از نوع حوضه کششی تشکیل شده‌اند.

**واژه‌های کلیدی:** دایک‌های دیابازی؛ شیمی کانی؛ دما-فشارسنجی؛ پهنه ایران مرکزی.

کاربرد شیمی کانی‌های بیوتیت، آمفیبیول و پیروکسن است.

مقدمه

زمین‌شناسی عمومی منطقه از دیدگاه زمین‌شناسی ساختاری، بر پایه تقسیم‌بندی اشتوکلین [۳]، گستره ورقه عقدا در پهنه ساختاری ایران مرکزی جای دارد. واحدهای سنگی منطقه شامل رسوب‌های آهکی و دولومیتی و شیل‌های وابسته به پرکامبرین تا کامبرین پیشین است. در بین این واحدهای سنگی، طبقاتی در برگیرنده کانسنگ هستند و در آهک‌های خاکستری روشن تا کرم رنگ یک سری سامانه گسله با راستای تقریبی شرقی-غربی دیده می‌شود که کانی سازی کانی‌های گوگردی و اکسیدی در راستای گسل‌ها با راستای شرقی-غربی و نزدیک به مرز آهک-های استروماتولیت‌دار، شیل‌های سبز و توف‌های ماسه‌ای انجام شده است [۲،۱]. کانی‌های گوگردی و اکسیدی در یک گستره بیش از ۳ کیلومتری در محل بروند کانسار به خوبی قابل

دادیک‌های غرب عقدا در گستره‌ی غرب نقشه زمین‌شناسی ۱۱۰۰۰۰۱، عقدا [۲،۱] قرار دارند. بروند این دایک‌ها در ۱۵ کیلومتری جنوب‌غرب شهرستان عقدا در استان یزد و در گستره بین طول‌های جغرافیایی<sup>۱</sup>  $۳۰^{\circ} ۵۳^{\prime} ۳۳^{\prime\prime}$  تا  $۳۲^{\circ} ۲۰^{\prime} ۲۰^{\prime\prime}$  شرقی و عرض‌های جغرافیایی<sup>۱</sup>  $۱۹^{\circ} ۳۲^{\prime} ۰۰^{\prime\prime}$  تا  $۲۰^{\circ} ۰۰^{\prime} ۰۰^{\prime\prime}$  شمالی واقع هستند. دایک‌های مورد بررسی در منطقه‌ی معدن روی و سرب (کالامین) بهرام‌تاج بروند دارند، در حال حاضر، فعالیت‌های اکتشافی و استخراج کانی‌های غیرسولفیدی روی که مهم‌ترین رخمنون کانی‌سازی در معدن بهرام‌تاج است توسط شرکت کاوش فن آور مانا در حال انجام است [۲،۱]. دایک‌های غرب عقدا، بدليل بروند با گسترش کم در نقشه زمین‌شناسی معروف نشده‌اند. از این رو، هدف این پژوهش معرفی و بررسی سنگنگاری، کانی‌شناسی و تعیین شرایط تبلور دایک‌ها با

توده‌ای شده است [۱]. دایک‌های با رنگ خاکستری تیره بین این واحدهای سنگی بروند دارند که شواهد دگرسانی در دایک‌ها نیز قابل مشاهده است. دایک‌ها در راستای گسل‌های منطقه قرار دارند.

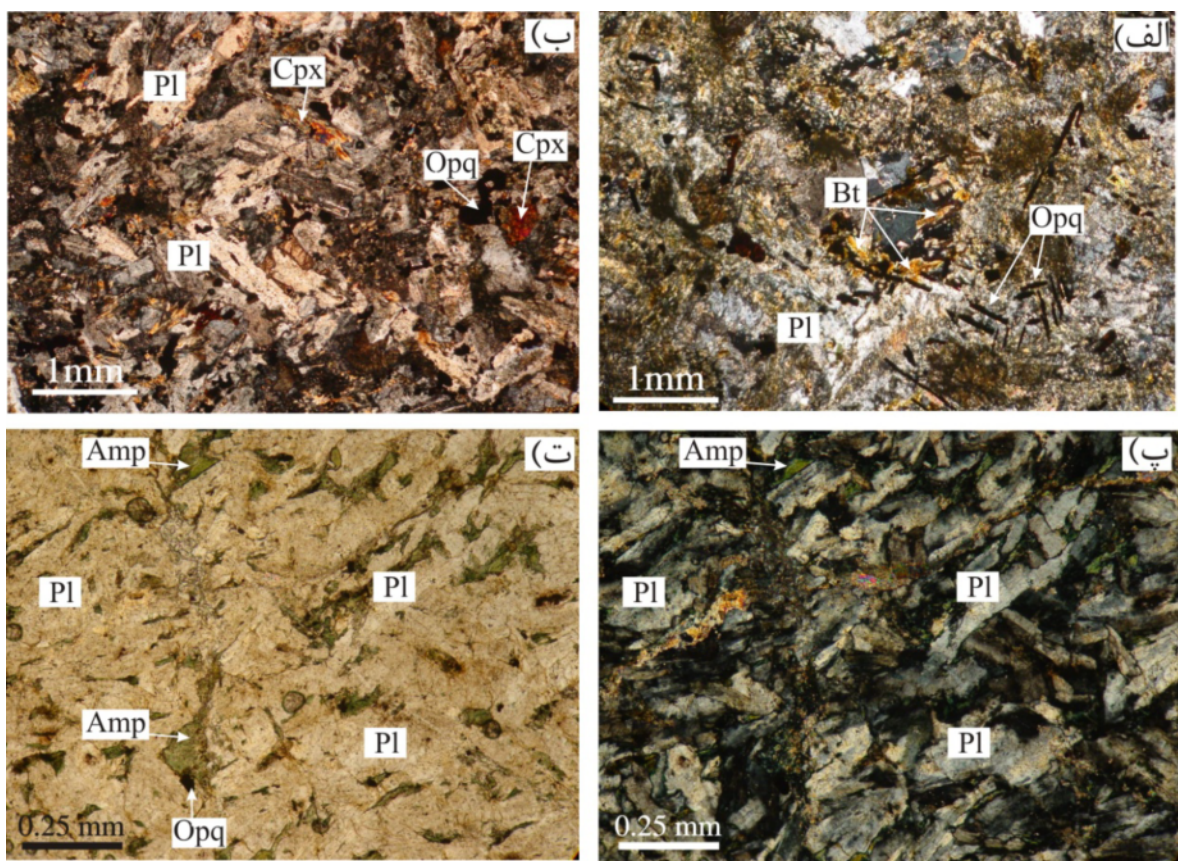
#### سنگنگاری دایک‌های غرب عقدا

دایک‌های غرب عقدا بین واحدهای سنگی شیل، آهک و آهک‌های دولومیتی بروند دارند و به رنگ خاکستری تیره تا روشن دیده می‌شوند (شکل ۱). بافت این سنگ‌ها دانه‌ای تا ریزدانه‌ای و میان دانه‌ای است و در ترکیب کانی‌شناسی آن‌ها پلاژیوکلار نیمه‌شکل‌دار تا بی‌شکل اغلب با آثار تجزیه‌شدگی قابل مشاهده است. کانی‌های مافیک شامل بیوتیت، آمفیبول و پیروکسن به صورت شکل‌دار تا نیمه‌شکل دار دیده می‌شوند. کانی‌های ثانویه سنگ شامل کانی‌های رسی، سریسیت، کلریت، کلسیت، لوکوکسن و اکسید آهن و کانی‌های فرعی شامل اکسید آهن است (شکل ۲). بر اساس ترکیب کانی‌شناسی و ویژگی‌های بافتی می‌توان آن‌ها را دیاباز یا ریزگابرو نامید.

مشاهده هستند [۲]. ماده معدنی کانسار غرب عقدا با نام کانسار بهرام تاج شامل کانی‌های گوگردی و اکسیدی است که همراه با باطله کربناتی در کانسنگ دیده می‌شود. از کانی‌های گوگردی تنها گالن قابل مشاهده بوده و کانی‌های گوگردی اسفالریت و پیریت فقط با ریزسکوب الکترونی و تجزیه نقطه‌ای با ریزپردازشگر الکترونی (EPMA) قابل تشخیص است و کانی‌های اکسیدی شامل سروزیت، اسمیت‌سونیت همراه با مالاکیت و آزوریت دیده می‌شوند [۲]. به نظر می‌رسد که در برخی موارد کانی کالامین در کانسنگ وجود دارد [۲]. تجزیه کانی‌های اولیه آهن باعث تشکیل کانی‌های اکسیدی آهن مانند هماتیت و لیمونیت در کانسنگ شده که گاهی آن را به شدت رنگ آمیزی کرده است [۲]. باطله ماده معدنی در غرب گستره عقدا آهک-دولومیت است که گسل‌های موجود در کمر پایین ناحیه معدنی نیز دارای راستای شرقی-غربی هستند ولی با شبیه متغیر عمل نموده‌اند. جنوبی‌ترین گسل موجود نزدیک به دشت باعث قرارگیری آهک‌های نازک لایه تیره چرت‌دار همراه با تناوب شیل و توف در کنار آهک‌های استروماتولیت‌دار و



شکل ۱ بروند دایک بین (الف) واحدهای سنگی شیل و آهک دولومیتی، (ب) واحدهای سنگی شیل و آهک، (پ) واحدهای سنگی شیل.



شکل ۲ تصاویر ریزسکوپی دایک‌های غرب عقدا، (الف) کانی مافیک بیوتیت شکل دار تا نیمه شکل دار همراه با پلاژیوکلاز و کانی‌های کدر و کانی‌های ثانویه ناشی از دگرسانی پلاژیوکلازها در نور XPL، (ب) بافت میان دانه‌ای، کانی‌های مافیک کلینوپیروکسن در نور XPL، (پ و ت) بافت دانه‌ای تا میان دانه‌ای همراه با کانی‌های مافیک آمفیبول به ترتیب نور XPL و PPL.

بیشتر آلبیتی شده‌اند و ترکیب شیمیایی آن‌ها در گستره‌ی آلبیت قرار دارد (جدول ۱) و (شکل ۳).

#### شیمی کانی بیوتیت

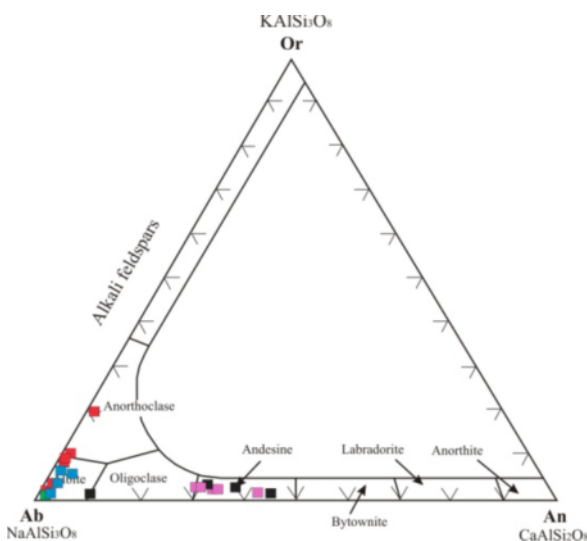
تعداد ۱۹ نقطه از ۴ بلور بیوتیت به روش ریزپردازش الکترونی تجزیه شدند. نخست بیوتیت‌های اولیه از بیوتیت‌های ثانویه با استفاده از نمودار سه تایی  $MgO + MnO + TiO_2 + FeO$  [۶] تفکیک شدند (شکل ۴ الف). ترکیب شیمیایی نقاطی که در گستره‌ی بیوتیت‌های ثانویه قرار دارند در بررسی‌های بعدی این پژوهش از لیست نتایج حذف شدند. ترکیب شیمیایی بیوتیت‌های دایک‌های غرب عقدا در نمودار ASPE [۷] در گستره‌ی بیوتیت قرار دارند و در نمودار (Fe+Mg/Si-Fe) [۵] در عقدا هستند. ۵۴ نقطه از بلور فلدسپار تجزیه ریزپردازشی شد و نتایج به دست آمده بر نمودار سه تایی Or-Ab-An [۵] رسم شدند (شکل ۳). فلدسپارهای موجود در دایک‌های غرب عقدا اغلب از نوع آندزین هستند و بلورهای فلدسپار دگرسان شده

#### روش بررسی

پس از بررسی‌های سنگنگاری، سنگهایی با دگرسانی کمتر در آزمایشگاه تهیه مقطع مرکز تحقیقات فرآوری مواد معدنی ایران، مقطع نازک-صیقلی تهیه شد. تجزیه نقطه‌ای از کانی‌های پلاژیوکلاز، بیوتیت، آمفیبول و پیروکسن دایک‌های غرب عقدا در آزمایشگاه کانی‌شناسی مرکز تحقیقات فرآوری مواد معدنی ایران با استفاده از دستگاه EPMA مدل SX 100 ساخت شرکت کامکای کشور فرانسه با ولتاژ شتاب دهنده ۱۵kV و شدت جریان ۲۰nA انجام شد [۴].

#### شیمی کانی فلدسپار

فلدسپارها از کانی‌های اصلی تشکیل دهنده دایک‌های غرب عقدا هستند. ۵۴ نقطه از بلور فلدسپار تجزیه ریزپردازشی شد و نتایج به دست آمده بر نمودار سه تایی Or-Ab-An [۵] رسم شدند (شکل ۳). فلدسپارهای موجود در دایک‌های غرب عقدا اغلب از نوع آندزین هستند و بلورهای فلدسپار دگرسان شده



شکل ۳ ترکیب پلازیوکلازهای دایک‌های غرب عقدا که در دو گستره‌ی آندزین و آلبیت قرار دارند.

جدول ۱ نتایج تجزیه نقطه‌ای کانی پلازیوکلاز از دایک‌های عقدا.

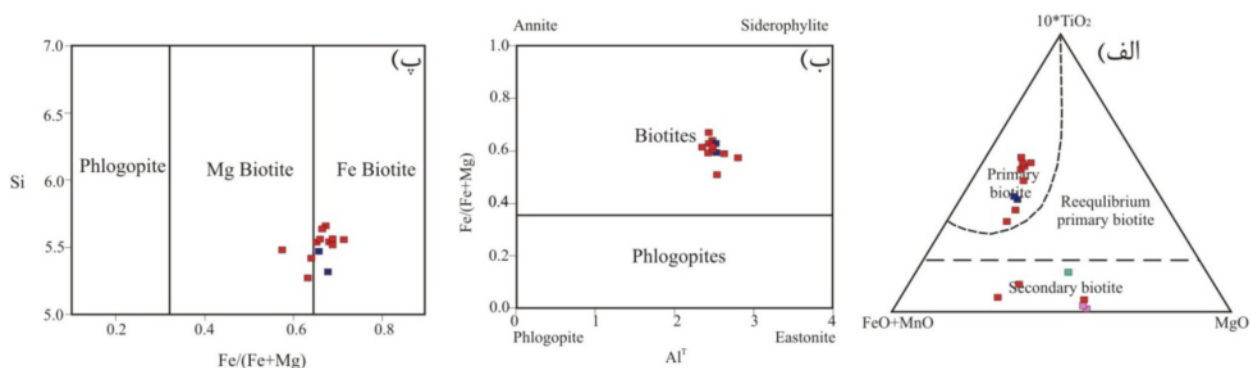
نقطا	پلازیوکلاز - بلور ۱												پلازیوکلاز - بلور ۲											
	SiO <sub>۲</sub>	TiO <sub>۲</sub>	Al <sub>۲</sub> O <sub>۳</sub>	FeO	MnO	MgO	CaO	Na <sub>۲</sub> O	K <sub>۲</sub> O	SiO <sub>۲</sub>	TiO <sub>۲</sub>	Al <sub>۲</sub> O <sub>۳</sub>	FeO	MnO	MgO	CaO	Na <sub>۲</sub> O	K <sub>۲</sub> O						
۲۱۱۱.	۲۲/۱.	۲۳/۱.	۲۴/۱.	۲۵/۱.	۲۶/۱.	۲۷/۱.	۲۸/۱.	۲۹/۱.	۳۰/۱.	۶۳/۲	۶۴/۲.	۶۵/۲.	۶۶/۲.	۶۷/۲.	۱۱/۲.	۱۲/۲.	۱۳/۲.	۱۴/۲.						
SiO <sub>۲</sub>	۶۶/۴۲	۶۵/۵۳	۶۶/۰۱	۶۶/۰۳	۶۵/۲۶	۶۶/۳۹	۶۵/۴۸	۶۶/۰۳	۶۶/۰۹	۶۷/۱۹	۶۵/۹۷	۶۶/۹۲	۶۶/۹۹	۶۶/۵۵	۶۶/۸۶	۶۰/۲۱	۵۹/۲۷	۶۰/۹۸	۶۵/۵۱					
TiO <sub>۲</sub>	۰/۰۳	۰/۰۰	۰/۰۳	۰/۰۳	۰/۰۱	۰/۰۴	۰/۰۳	۰/۰۴	۰/۰۱	۰/۰۰	۰/۰۲	۰/۰۰	۰/۰۳	۰/۰۰	۰/۰۸	۰/۰۳	۰/۰۰	۰/۰۰	۰/۰۰					
Al <sub>۲</sub> O <sub>۳</sub>	۲۰/۲	۲۰	۲۰/۷۳	۲۰/۲۵	۲۰/۴۸	۲۰/۴۲	۲۱/۳۴	۲۰/۵۶	۲۰/۰۱	۲۰/۰۷	۲۰/۸۲	۲۰/۷۴	۲۰/۰۹	۲۰/۹۷	۲۰/۸۵	۲۲/۰۳	۲۴/۲۱	۲۳/۱۸	۲۰/۶۶					
FeO	۰/۴۲	۱/۶	۰/۳۴	۰/۴۵	۱/۱۸	۰/۱۵	۰/۸۸	۰/۴۱	۰/۸۶	۰/۰۳	۰/۰۰	۰/۰۰	۰/۰۴	۰/۱۱	۰/۰۲	۰/۸۵	۰/۰۳۱	۰/۱۹	۰/۰۴					
MnO	۰/۰۱	۰/۰۳	۰/۰۲	۰/۰۴	۰/۰۲	۰/۰۱	۰/۰۰	۰/۰۱	۰/۰۰	۰/۰۲	۰/۰۱	۰/۰۰	۰/۰۱	۰/۰۱	۰/۰۰	۰/۰۱	۰/۰۰	۰/۰۰۱	۰/۰۰۱					
MgO	۰/۲۶	۰/۶۸	۰/۱۹	۰/۱۷	۰/۱۳	۰/۰۵	۰/۰۴	۰/۰۰	۰/۰۴۷	۰/۰۴	۰/۰۰	۰/۰۰	۰/۰۱	۰/۰۰	۰/۰۰	۰/۰۰۵	۰/۰۰۱	۰/۰۰۲	۰/۰۰					
CaO	۰/۴۴	۰/۲	۰/۳۹	۰/۴۱	۰/۲۹	۰/۴۷	۰/۸۲	۰/۴۶	۰/۴۷	۰/۲۳	۰/۲۱	۰/۲۳	۰/۱۴	۰/۰۴	۰/۱۹	۰/۰۸	۰/۱	۰/۲۵	۰/۲۵					
Na <sub>۲</sub> O	۱۱/۹۴	۱۱/۸۱	۱۱/۵۷	۱۱/۰۲	۱۱/۱۱	۱۲/۰۳	۱۰/۰۳	۱۱/۸۹	۱۰/۹۹	۱۱/۹	۱۱/۹۴	۱۱/۸۲	۱۲/۱۷	۱۱/۸۱	۱۲/۱۷	۷/۸۸	۷/۱۶	۸/۳۱	۱۰/۹۳					
K <sub>۲</sub> O	۰/۳۴	۰/۱۲	۰/۶۷	۱/۱۹	۱/۲۹	۰/۱۴	۱/۰۶	۰/۳۵	۰/۷۶	۰/۱۷	۰/۰۸	۰/۰۸	۰/۰۵	۰/۰۹	۰/۰۷	۰/۶۶	۰/۳۹	۰/۵۴	۰/۰۴					

ادامه جدول ۱

نقطا	پلازیوکلاز - بلور ۱												پلازیوکلاز - بلور ۲															
	SiO <sub>۲</sub>	TiO <sub>۲</sub>	Al <sub>۲</sub> O <sub>۳</sub>	FeO	MnO	MgO	CaO	Na <sub>۲</sub> O	K <sub>۲</sub> O	SiO <sub>۲</sub>	TiO <sub>۲</sub>	Al <sub>۲</sub> O <sub>۳</sub>	FeO	MnO	MgO	CaO	Na <sub>۲</sub> O	K <sub>۲</sub> O										
۱۵/۲.	۱۶/۲.	۱۷/۲.	۱۸/۲.	۱۹/۲.	۲۰/۲.	۲۱/۲.	۲۸/۳.	۲۹/۳.	۴۷/۴.	۴۸/۴.	۴۹/۴.	۵۰/۴.	۵۱/۴.	۵۲/۴.	۵۳/۴.	۵۴/۴.	۵۵/۴.											
SiO <sub>۲</sub>	۵۶/۴۵	۶۵/۷۸	۵۷/۵۷	۶۶/۱۱	۶۶/۴۶	۶۰/۰۸	۵۹/۹۶	۶۴/۳	۶۳/۷۸	۵۷/۱۵	۶۰/۲۳	۶۱/۱۱	۶۱/۴۱	۵۹/۵۷	۶۰/۰۱	۵۹/۲۹	۶۰/۰۱	۶۱/۱۷										
TiO <sub>۲</sub>	۰/۰۲	۰/۰۰	۰/۰۲	۰/۰۲	۰/۰۰	۰/۰۱	۰/۰۱	۰/۰۸	۰/۰۵	۰/۰۰	۰/۰۰	۰/۰۰	۰/۰۲	۰/۰۱	۰/۰۰	۰/۰۰۴	۰/۰۰											
Al <sub>۲</sub> O <sub>۳</sub>	۲۶/۰۴	۲۰/۴۶	۲۵/۶۴	۲۱	۲۰/۰۸	۲۴/۰۶	۲۴/۲۳	۲۲/۵۶	۲۴/۰۵	۲۵/۶۲	۲۵/۳۹	۲۴/۵۷	۲۴/۱۱	۲۴/۳۲	۲۵/۰۸	۲۵/۰۱	۲۴/۵۷	۲۴/۷۵										
FeO	۰/۲۱	۰/۰۰	۰/۲	۰/۰۵	۰/۰۱	۰/۲۳	۰/۱۸	۰/۵۴	۰/۳۳	۰/۰۲	۰/۰۲	۰/۰۳	۰/۰۲	۰/۰۲	۰/۰۲	۰/۱۳	۰/۱۵	۰/۰۲	۰/۱۴									
MnO	۰/۰۲	۰/۰۰	۰/۰۰	۰/۰۰	۰/۰۰	۰/۰۲	۰/۰۲	۰/۰۰	۰/۰۰	۰/۰۱	۰/۰۰	۰/۰۱	۰/۰۰	۰/۰۱	۰/۰۰	۰/۰۰	۰/۰۰	۰/۰۰										
MgO	۰/۰۰	۰/۰۰	۰/۰۲	۰/۰۲	۰/۰۰	۰/۰۰	۰/۰۰	۰/۰۵	۰/۰۷	۰/۰۱	۰/۰۰	۰/۰۱	۰/۰۰	۰/۰۰	۰/۰۰	۰/۰۰۳	۰/۰۰۱	۰/۰۱	۰/۰۰۳									
CaO	۹/۳۹	۲/۵۶	۹/۵۷	۲/۰۹	۲/۴۵	۷/۱۵	۷/۳۴	۱۰/۲۳	۱۰/۰۵	۸/۹۶	۸/۸۴	۸/۱	۸/۲۲	۷/۵۸	۷/۰۳	۷/۲۱	۶/۹۲	۶/۱۵										
Na <sub>۲</sub> O	۶/۲۶	۱۰/۴۷	۶/۴۱	۱۰/۰۳	۱۰/۸۷	۷/۶۶	۷/۷۱	۰/۰۵	۰/۰۲	۶/۷	۷/۶۳	۸/۰۸	۷/۸۶	۷/۹	۷/۶۵	۷/۸۲	۷/۸۵	۷/۸۰	۸/۰۶									
K <sub>۲</sub> O	۰/۲۹	۰/۰۲	۰/۳۱	۰/۲۱	۰/۰۶	۰/۴۳	۰/۴۶	۱/۰۶	۱/۲	۰/۰۳	۰/۴۶	۰/۵۸	۰/۰۵	۰/۴۴	۰/۴۹	۰/۰۵۱	۰/۰۵۱	۰/۰۵۴										

ادامه جدول ۱

نقطا	پلازیوکلاز - بلور ۱												پلازیوکلاز - بلور ۲															
	SiO <sub>۲</sub>	TiO <sub>۲</sub>	Al <sub>۲</sub> O <sub>۳</sub>	FeO	MnO	MgO	CaO	Na <sub>۲</sub> O	K <sub>۲</sub> O	SiO <sub>۲</sub>	TiO <sub>۲</sub>	Al <sub>۲</sub> O <sub>۳</sub>	FeO	MnO	MgO	CaO	Na <sub>۲</sub> O	K <sub>۲</sub> O										
۵۶/۴.	۶۳/۱.	۶۴/۱.	۶۵/۱.	۶۶/۱.	۶۷/۱.	۶۸/۱.	۶۹/۱.	۷۰/۱.	۸۳/۱.	۸۴/۱.	۸۵/۱.	۸۶/۱.	۸۷/۱.	۳۹/۱.	۴۰/۱.	۴۲/۱.	۵۶/۱.	۵۷/۱.										
SiO <sub>۲</sub>	۵۹/۵۲	۶۵/۲۳	۶۶/۴۷	۶۷/۹۶	۶۷/۷۷	۶۵/۹۲	۶۷/۷	۶۶/۱	۶۶/۴۰/۲	۶۶/۹۸/۶۶/۴۱	۶۷/۱۹/۶۶/۰۳	۶۷/۱۸/۶۷/۱	۶۷/۱۸	۶۷/۶۷	۶۷/۹۶	۶۷/۸۵	۶۷/۸۰	۶۷/۹										
TiO <sub>۲</sub>	۰/۰۲	۰/۰۴	۰/۰۰	۰/۰۰	۰/۰۰	۰/۰۰	۰/۰۰	۰/۰۰	۰/۰۰	۰/۰۰	۰/۰۰	۰/۰۰	۰/۰۰	۰/۰۰	۰/۰۰	۰/۰۰	۰/۰۰	۰/۰۰										
Al <sub>۲</sub> O <sub>۳</sub>	۲۵/۰۵	۲۰/۳۴	۲۰/۷۳	۲۰/۹۶	۲۱/۳۹	۲۱/۲۴	۲۰/۵۹	۲۰/۹۵	۲۰/۷۹	۱۹/۸۸	۲۰/۹۸	۱۹/۵۶	۲۰/۰۲	۲۰/۵۱	۲۰/۸۱	۲۰/۴۴	۲۰/۰۲	۲۰/۴۹	۲۰/۰۹									
FeO	۰/۱۶	۰/۲۶	۰/۴۶	۰/۲۸	۰/۴۴	۰/۵۴	۰/۱۸	۰/۳۱	۰/۳۳	۰/۱۸	۰/۲۴	۰/۱۴	۰/۴۳	۰/۰۰	۰/۰۰	۰/۰۰	۰/۰۰	۰/۰۰	۰/۰۰									
MnO	۰/۰۰	۰/۰۰	۰/۰۰	۰/۰۲	۰/۰۳	۰/۰۱	۰/۰۱	۰/۰۰	۰/۰۰	۰/۰۰	۰/۰۰	۰/۰۰	۰/۰۰	۰/۰۰	۰/۰۰	۰/۰۰	۰/۰۰	۰/۰۰	۰/۰۰									
MgO	۰/۰۵	۰/۰۰	۰/۰۰	۰/۰۴	۰/۰۲	۰/۰۵	۰/۰۱	۰/۰۲	۰/۰۱	۰/۰۰	۰/۰۰	۰/۰۰	۰/۰۰	۰/۰۱	۰/۰۰	۰/۰۰	۰/۰۰	۰/۰۰	۰/۰۰									
CaO	۷/۱۹	۰/۲۷	۰/۲۶	۰/۳۲	۰/۲۳	۰/۱۸	۰/۱۷	۰/۱۸	۰/۱۸	۰/۲۱	۰/۰۴	۰/۰۴	۰/۰۴	۰/۰۷	۰/۱۹													



شکل ۴ (الف) تفکیک بیوتیت‌های اولیه از بیوتیت‌های ثانویه در نمودار سه‌تایی مرجع [۶]، (ب) جایگاه در نمودار سه‌تایی مرجع [۶]، (پ) نمودار مقدار Si نسبت به (Fe/Fe+Mg) (Fe/FMg) اغلب بیوتیت‌ها از نوع بیوتیت‌های آهن‌دار و بعضی از نمونه‌ها از نوع بیوتیت منیزیم‌دار هستند [۷]. رنگ‌های مختلف در این نمودار نشانگر بلورهای متفاوت کانی بیوتیت است.

### شیمی کانی آمفیبول

برای تعیین شیمی کانی آمفیبول دایک‌های غرب عقدا، ۲۶ نقطه از دو بلور آمفیبول تجزیه نقطه‌ای شدند نخست برای تشخیص خاستگاه آمفیبول‌ها از فراوانی مجموع ( $\text{Na}+\text{Ca}+\text{K}$ ) نسبت به مقدار Si در هر واحد فرمولی بر اساس تقسیم‌بندی سیل و همکاران [۱۰] استفاده شد که بر پایه این تقسیم‌بندی، آمفیبول‌های دایک‌های غرب عقدا جزء آمفیبول‌های ماقمایی هستند (شکل ۵ الف).

نتایج بدست آمده از تجزیه ریزپردازشی بیوتیت‌ها (جدول ۲) نشان می‌دهند که این کانی‌ها تمرکز بالایی از  $\text{MgO}$  (۱۲.۸۲–۱۳.۸۲٪)،  $\text{Al}_2\text{O}_3$  (۸.۳۹–۱۴.۷۸٪) و مقدار پایینی از  $\text{FeO}$  (۲۴.۲۷–۳۱.۵۷٪) دارند و همچنین بیوتیت‌های مورد بررسی دارای تمرکز به نسبت بالایی از  $\text{FeO}$  (۰.۰۰–۰.۱۶٪) هستند. بنابراین ترکیب شیمیایی بیوتیت‌ها نشان می‌دهد که این کانی‌ها از نوع بیوتیت‌های اولیه هستند و به طور مستقیم از مانگما متبلور شده‌اند [۹].

جدول ۲ نتایج تجزیه نقطه‌ای کانی‌های بیوتیت، آمفیبول و پیروکسن دایک‌های عقدا.

نقاط	بیوتیت- بلور ۱												بیوتیت- بلور ۲											
	SiO <sub>۴</sub>	TiO <sub>۴</sub>	Al <sub>۴</sub> O <sub>۷</sub>	FeO	MnO	MgO	CaO	Na <sub>۴</sub> O	K <sub>۴</sub> O	SiO <sub>۴</sub>	TiO <sub>۴</sub>	Al <sub>۴</sub> O <sub>۷</sub>	FeO	MnO	MgO	CaO	Na <sub>۴</sub> O	K <sub>۴</sub> O						
۴۳/۱.	۴۴/۱.	۴۵/۱.	۴۶/۱.	۴۷/۱.	۴۸/۱.	۴۹/۱.	۵۰/۱.	۵۱/۱.	۵۲/۱.	۵۳/۱.	۵۴/۱.	۵۵/۱.	۴/۱.	۵/۱.	۷۰/۱.	۷۱/۱.	۷۲/۱.							
۳۱.۵۵	۳۳.۶۲	۳۵.۷	۳۵.۷۱	۳۵.۵۱	۳۵.۵۷	۳۲.۳۱	۳۶.۱۵	۳۷.۲۳	۳۶.۲۴	۳۳.۵۸	۳۴.۵۵	۳۴.۷۱	۳۲.۴۶	۳۶.۰۶	۳۳.۲۳	۳۴.۷	۳۳.۱۶							
۱.۹۲	۲.۴۸	۳.۱۲	۳.۸۷	۴.۴	۰.۴۴	۰.۲۳	۴.۳۹	۳.۸۷	۳.۹	۲	۲.۲۸	۴.۱۱	۰.۰۰	۰.۱۶	۰.۰۴	۰.۰۷	۰.۰۰							
۱۳.۲۵	۱۳.۳۳	۱۲.۵۳	۱۳.۶۲	۱۲.۳۱	۱۴.۰۸	۱۵.۷۱	۱۲.۸۲	۱۳.۰۴	۱۳.۱۷	۱۳.۷۱	۱۳.۸۲	۱۳.۳۲	۲۲.۹۸	۲۲.۲۹	۲۱.۵۸	۱۹.۸۳	۲۱.۱۴							
۲۹.۳۷	۲۶.۱۳	۲۴.۲۷	۲۵.۲۹	۲۵.۴۶	۲۸.۰۹	۳۱.۵۷	۲۶.۰۶	۲۵.۲۱	۲۵.۷۹	۳۰.۲۹	۲۸.۱۲	۲۶.۳۸	۱۸.۴۶	۱۵.۳۱	۱۷.۵۷	۱۷.۸۳	۱۸.۸۳							
۰.۰۰	۰.۰۰	۰.۰۰	۰.۰۰	۰.۰۰	۰.۰۰	۰.۰۰	۰.۰۰	۰.۰۰	۰.۰۰	۰.۰۰	۰.۰۰	۰.۰۰	۰.۲۵	۰.۲۷	۰.۲۷	۰.۲	۰.۲۹							
۹.۹۳	۹.۹۵	۸.۹۶	۸.۵۲	۷.۴۱	۱۴.۷۸	۱۳.۳۲	۱۰.۳۵	۹	۹.۰۸	۱۰.۲۵	۱۰.۶۵	۸.۳۹	۲۱.۱۳	۲۰.۳۴	۲۳.۵۳	۲۲.۹۵	۲۲.۴۵							
۰.۳۲	۰.۴۳	۰.۹۹	۰.۴	۰.۱۳	۰.۳۱	۰.۱۳	۰.۹۹	۰.۵۷	۰.۵۸	۰.۲۸	۰.۳۸	۰.۳۳	۰.۱۳	۰.۱۵	۰.۱۲	۰.۱۳	۰.۱۷							
۰.۱۵	۰.۲۴	۰.۲۴	۰.۳	۰.۱۲	۰.۰۹	۰.۱۳	۰.۲۴	۰.۱۱	۰.۱۷	۰.۱۸	۰.۲	۰.۱۷	۰.۱۸	۰.۱۷	۰.۱۲	۰.۲۲	۰.۱۲							
۹.۴۹	۹.۸۳	۱۰.۱۷	۸.۲۸	۹.۶۴	۲.۶	۲.۷۶	۴.۹۴	۶.۹	۷.۰۳	۵.۶۱	۵.۹۶	۸.۶	۰.۰۴	۰.۳۴	۰.۰۰	۰.۰۴	۰.۰۲							

ادامه جدول ۲

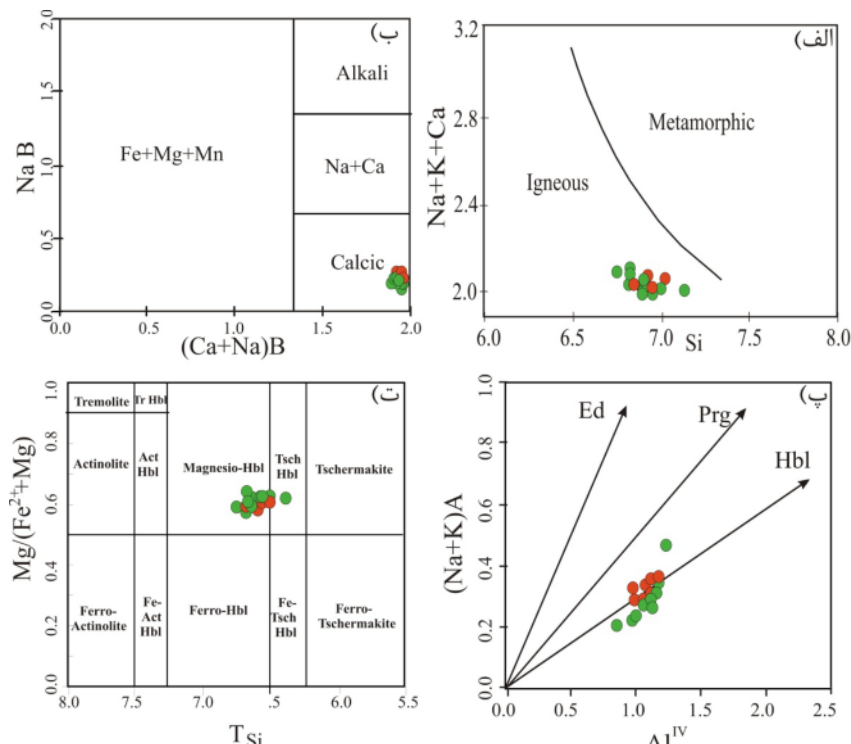
نقاط	آمفیبول- بلور ۱												آمفیبول- بلور ۲											
	SiO <sub>۴</sub>	TiO <sub>۴</sub>	Al <sub>۴</sub> O <sub>۷</sub>	FeO	MnO	MgO	CaO	Na <sub>۴</sub> O	K <sub>۴</sub> O	SiO <sub>۴</sub>	TiO <sub>۴</sub>	Al <sub>۴</sub> O <sub>۷</sub>	FeO	MnO	MgO	CaO	Na <sub>۴</sub> O	K <sub>۴</sub> O						
۹/۱.	۱/۱.	۲/۱.	۳/۱.	۴/۱.	۵/۱.	۶/۱.	۷/۱.	۸/۱.	۹/۱.	۱۰/۱.	۱۱/۱.	۱۲/۱.	۱۳/۱.	۱۴/۱.	۱۵/۱.	۱۶/۱.	۱۷/۱.	۱۸/۱.						
۳۸.۷۷	۴۸.۵۹	۴۸.۲	۴۷.۶۸	۴۸.۱۳	۴۸.۴۱	۴۸.۲۳	۴۸.۰۶	۴۸.۶۶	۴۸.۷	۴۸.۲۸	۴۷.۲۹	۴۷.۸۸	۴۸.۱۸	۴۶.۶۸	۴۸.۲۵	۴۷.۵۷	۴۸.۲۴							
۰.۵۱	۰.۸۸	۱.۱۲	۱.۰۸	۱.۱۶	۰.۹۹	۱.۰۹	۱.۱۹	۱.۱	۰.۹۸	۰.۹۶	۱.۰۸	۰.۹۹	۱.۱۴	۰.۹۴	۰.۹۳	۰.۸۸								
۱۹.۰۸	۷.۰۱	۸.۷۱	۸.۶	۸.۰۷	۷.۹۹	۸.۰۷	۸.۰۳	۷.۰۶	۸.۱	۸.۱۳	۸.۲۵	۸.۲۸	۷.۸	۸.۳۲	۷.۷۳	۷.۶۶	۷.۶۱							
۱۴.۸۶	۱۳.۵۹	۱۴.۲۹	۱۳.۸۶	۱۴.۱۱	۱۳.۳۴	۱۴.۰۳	۱۳.۵۵	۱۳.۵۴	۱۳.۱۶	۱۳.۴۹	۱۳.۲۷	۱۳.۸۶	۱۳.۵۲	۱۴.۲۱	۱۴.۰۵	۱۴.۰۸	۱۴.۲۲							
۰.۱۴	۰.۴۹	۰.۴	۰.۳۸	۰.۴۳	۰.۴۴	۰.۴	۰.۴۸	۰.۴۳	۰.۴۸	۰.۴۲	۰.۴۵	۰.۴۴	۰.۴۴	۰.۴۴	۰.۴۲	۰.۴۲	۰.۴۲							
۱۶.۱۸	۱۴.۳۸	۱۳.۵۸	۱۳.۷۹	۱۳.۴۸	۱۴.۰۷	۱۳.۸۲	۱۳.۶۴	۱۳.۸۵	۱۴.۰۴	۱۳.۸۴	۱۳.۲۱	۱۳.۹	۱۴.۰۸	۱۳.۶۵	۱۳.۹۸	۱۴.۱۷	۱۴.۱۴							
۰.۱۴	۱۱.۰۵	۱۱.۱۹	۱۱.۲۳	۱۱.۱۱	۱۱.۰۵	۱۱.۳۹	۱۱.۲۹	۱۱.۲۴	۱۰.۹۵	۱۱.۰۸	۱۱.۱۴	۱۰.۹۶	۱۱.۵۶	۱۱.۶۹	۱۱.۲۲	۱۱.۲۱	۱۱.۱							
۰.۲۶	۱.۵۶	۱.۷	۱.۷۷	۱.۶۶	۱.۶۷	۱.۷۲	۱.۷۲	۱.۷۴	۱.۶۷	۱.۶۳	۱.۵۱	۱.۴۱	۱.۳۵	۱.۷۸	۱.۴۷	۱.۵۱	۱.۴۶							
۲.۶۸	۰.۴۱	۰.۴۸	۰.۴۸	۰.۵۲	۰.۵۲	۰.۵۵	۰.۵۲	۰.۴۴	۰.۴	۰.۴۹	۰.۴۹	۰.۴۸	۰.۵	۰.۶۹	۰.۴۹	۰.۵۱	۰.۴۸							

## ادامه جدول ۲

	آمفیبول-بلور ۱										پیروکسن-بلور ۱									
	نقطاط	۳۷/۱.	۳۸/۱.	۳۹/۱.	۴۰/۱.	۴۱/۱.	۴۲/۱.	۴۳/۱.	۴۴/۱.	۴۵/۱.	نقطاط	۳۶/۱.	۳۷/۱.	۳۸/۱.	۴۱/۱.	۴۲/۱.	۴۳/۱.	۴۴/۱.	۴۵/۱.	
SiO <sub>4</sub>	۴۸,۵۳	۴۸,۶۴	۴۸,۵۲	۴۹,۶۵	۴۸,۳۶	۴۷,۴۹	۴۷,۴۹	۴۸,۵۹	۴۷,۴۶	SiO <sub>۴</sub>	۵۴,۲۱	۵۴,۷۱	۵۵,۳۳	۵۵,۷۹	۵۱,۸۹	۴۹,۰۲	۵۷,۳۱	۵۶,۶۷		
TiO <sub>۴</sub>	۰,۸۹	۰,۹۶	۰,۹۶	۰,۷۹	۰,۹	۱	۰,۹۱	۰,۸۳	۰,۹۹	TiO <sub>۴</sub>	۰,۴۶	۰,۰۷	۰,۱۳	۰,۰۷	۰,۸۹	۰,۷۹	۰,۰۴	۰,۱۴		
Al <sub>۲</sub> O <sub>۳</sub>	۷,۴۸	۷,۷۹	۷,۹۸	۶,۵۸	۸,۰۲	۸,۲۳	۷,۷۵	۷,۴۳	۸,۹۸	Al <sub>۲</sub> O <sub>۳</sub>	۲,۴۵	۱,۷۷	۱,۷۴	۱,۰۴	۳,۶۷	۴,۹۳	۱,۶۵	۱,۵۹		
FeO	۱۳,۷۸	۱۳,۰۸	۱۳,۹۱	۱۲,۹۱	۱۳,۵۹	۱۴,۵۶	۱۳,۴۸	۱۳,۷۸	۱۳,۷۸	FeO	۷,۲۷	۱۱,۲۸	۱۰,۴۹	۱۰,۷۹	۸,۱۲	۱۱,۸۷	۹,۸۶	۱۰,۸		
MnO	۰,۴۴	۰,۵	۰,۴۴	۰,۵۱	۰,۴۷	۰,۴۴	۰,۴۸	۰,۵۱	۰,۴۵	Fe <sub>۲</sub> O <sub>۳</sub>	۱,۹۶	۱,۵۷	۱,۶۳	۱,۵۷	۲,۳۹	۲,۲۹	۱,۵۴	۱,۶۴		
MgO	۱۴,۳۲	۱۲,۷	۱۳,۸۹	۱۴,۴۸	۱۴,۲۴	۱۳,۷۹	۱۴,۵۳	۱۳,۸۴	۱۳,۰۸	MnO	۰,۱۶	۰,۲۴	۰,۲۳	۰,۲۸	۰,۱۵	۰,۱۹	۰,۲۲	۰,۲۶		
CaO	۱۱,۱	۱۱,۱	۱۱,۰۲	۱۱,۰۹	۱۱,۲۱	۱۱,۱۸	۱۱,۲۴	۱۱,۲۴	۱۱,۴۸	MgO	۱۷,۴۴	۱۵,۰۴	۱۵,۹۵	۱۵,۹۹	۱۵,۵۹	۱۵,۹۲	۱۷,۴۸	۱۵,۶۶		
Na <sub>۲</sub> O	۱,۳۸	۱,۴۹	۱,۶	۱,۴۱	۱,۴۸	۱,۴۸	۱,۵۴	۱,۳۱	۱,۶۶	CaO	۱۲,۲۲	۱۲,۱۴	۱۲,۵۷	۱۲,۲۷	۱۲,۳۷	۱۱,۶۹	۱۱,۶۵	۱۱,۳۶		
K <sub>۲</sub> O	۰,۴۶	۰,۴۴	۰,۴۴	۰,۲۹	۰,۴۱	۰,۴۴	۰,۵۲	۰,۴۳	۰,۶	Na <sub>۲</sub> O	۱,۲۳	۰,۸۸	۰,۸	۰,۹۵	۱,۴۳	۱,۰۵	۰,۸۱	۱,۱۱		
										K <sub>۲</sub> O	۰,۱۴	۰,۱۴	۰,۱۳	۰,۱۶	۰,۱۳	۰,۱۳	۰,۱۳	۰,۱۱		

## ادامه جدول ۲

	پیروکسن-بلور ۱																					
نقطاط	۳۹/۱.	۴۰/۱.	۴۱/۱.	۴۲/۱.	۴۳/۱.	۴۴/۱.	۴۵/۱.	۴۶/۱.	۴۷/۱.	۴۸/۱.	۴۹/۱.	۵۰/۱.	۵۱/۱.	۵۲/۱.	۵۳/۱.	۵۴/۱.	۵۵/۱.	۵۶/۱.	۵۷/۱.	۵۸/۱.	۵۹/۱.	۶۰/۱.
SiO <sub>۴</sub>	۵۳,۵۷	۵۶,۶۹	۵۷,۴۹	۵۷,۱۶	۵۴,۵۳	۵۵,۷۷	۵۴,۲۲	۵۵,۳۷	۵۵,۶۱	۵۶,۳۱	۵۵,۵۲	۵۵,۸۳	۵۶,۴۱	۵۵,۷۲	۵۵,۸	۵۶						
TiO <sub>۴</sub>	۰,۰۳	۰,۰۲	۰,۱۲	۰,۰۳	۰,۰۵	۰,۰۲	۰,۰۹	۰,۱۲	۰,۰۶	۰,۱۱	۰,۱۱	۰,۱۱	۰,۱۱	۰,۱۱	۰,۰۷	۰,۰۵	۰,۰۴	۰,۰۸				
Al <sub>۲</sub> O <sub>۳</sub>	۳/۱۱	۱,۳۳	۱,۷۲	۱,۳۵	۱,۹۳	۱,۱۹	۱,۴۴	۲,۸۱	۱,۵۷	۲,۶	۱,۳۱	۱,۱۷	۱,۲۱	۱,۸۴	۱,۱۳	۱,۲۲						
FeO	۱۰,۵۶	۹,۲۶	۹,۷۴	۹,۸۴	۱۰,۶۲	۱۰,۰۲	۱۰,۳۳	۱۰,۵۱	۱۰,۰۵	۱۰,۵	۹,۷۱	۹,۵۸	۸,۹۹	۹,۲۶	۹,۷۴	۹,۷۱	۸,۹۹					
Fe <sub>۲</sub> O <sub>۳</sub>	۱/۵۳	۱/۵۲	۱/۶۳	۱/۵۳	۱/۵۵	۱/۵۲	۱/۵۹	۱/۶۲	۱/۵۶	۱/۵۶	۱/۶۱	۱/۶۱	۱/۶۱	۱/۵۷	۱/۵۵	۱/۵۴	۱/۵۶					
MnO	۰,۲	۰,۲۱	۰,۲۲	۰,۲۸	۰,۲۱	۰,۱۷	۰,۲۶	۰,۱۸	۰,۲۳	۰,۱۹	۰,۲۲	۰,۲	۰,۲۵	۰,۲۳	۰,۱۹	۰,۲۱						
MgO	۱۶,۱۱	۱۷,۵۳	۱۵,۴۵	۱۶,۰۹	۱۵,۸۷	۱۶,۷۸	۱۵,۱۵	۱۷,۰۶	۱۵,۸۶	۱۷,۵۶	۱۶,۱۹	۱۶,۳۷	۱۶,۴۴	۱۵,۹۱	۱۶,۳۵							
CaO	۱۱,۹۷	۱۱,۷۱	۱۱,۷	۱۱,۵۵	۱۲,۰۴	۱۲,۵۹	۱۱,۷۸	۱۱,۵۴	۱۱,۴۱	۱۰,۸۲	۱۱,۷۴	۱۱,۶۲	۱۱,۷۷	۱۱,۳	۱۲,۱۴	۱۱,۸۶						
Na <sub>۲</sub> O	۰,۶۸	۰,۵۵	۰,۷۸	۰,۷۲	۰,۸۱	۰,۸۶	۰,۷۳	۰,۸۶	۰,۷۷	۰,۶۶	۰,۵۷	۰,۵۵	۰,۵۸	۰,۷۴	۰,۵	۰,۵۹						
K <sub>۲</sub> O	۰,۱۴	۰,۰۹	۰,۱۱	۰,۱۲	۰,۲۶	۰,۰۷	۰,۱۱	۰,۰۸	۰,۱۱	۰,۰۸	۰,۱	۰,۰۶	۰,۱	۰,۱۲	۰,۰۸	۰,۱۱						



شکل ۵ (الف) نمودار تغییک آمفیبول‌های ماقمایی از آمفیبول‌های دگرگونی برگرفته از مرجع [۱۱] که در این نمودار، نمونه‌ها در گستره‌های آمفیبول‌های آذرین قرار دارند، (ب) نمودار مرجع [۵] که آمفیبول‌ها در گستره‌ی کلسیمی قرار دارند، (پ) و (ت) نمودارهای ردهبندی و نامگذاری آمفیبول‌ها [۱۱]، رنگ‌های سبز و قرمز در این نمودار نشانگر بلور متفاوت کانی آمفیبول است.

شیمی بلورهای بیوتیت و مجموعه کانیایی همراه آن‌ها وابسته است [۱۴، ۱۳]، اما دما بیشترین تاثیر را بر مقدار Ti در بیوتیت دارد. افزایش فشار با اثر عکس بر مقدار Ti سبب کاهش Ti در بیوتیت می‌شود [۱۵-۱۸]. هنری و همکاران [۱۹] رابطه را برای محاسبه دما بر اساس مقدار Ti معرفی کرده‌اند که برای  $T = 480\text{-}800^{\circ}\text{C}$  و  $Ti = 0.04\text{-}0.6$   $X_{Mg} = 0.275\text{-}1$

کاربرد دارد. فرمول این دماسنج به صورت زیر بیان شده است:

$$(1) \quad T(^{\circ}\text{C}) = \left( \ln Ti + 2.359 + 1.7283 * (X_{Mg})^3 \right) / (4.6482 * 10^{-9})^{0.333}$$

شرایط بیان شده با شیمی کانی بیوتیت دایک‌های غرب عقداً همخوانی دارد؛ از این رو، دمای تبلور دایک‌های غرب عقداً با استفاده از رابطه (۱) محاسبه شد و نتایج در جدول ۳ آورده شده است. دمای تبلور ۵۷۳-۵۹۵ درجه سانتی‌گراد و مقدار متوسط آن ۶۷۷ درجه سانتی‌گراد است.

#### فشار

بررسی‌های یوچیدا و همکاران [۲۰] بیانگر وجود رابطه خطی مثبت بین مقدار  $\text{Al}^T$  بیوتیت و فشار تبلور ماقماست:

$$(2) \quad P_{(\text{Kbar})} = 3.03 * \text{Al}^T - 6.53 \pm 0.33$$

بر اساس فشارسنجی بیوتیت با استفاده از این رابطه، فشار تبلور دایک‌های غرب عقداً ۴۱۷-۱۲۰۵ کیلوبار و متوسط آن  $869 \pm 0.33$  کیلوبار است.

آمفیبولهای دایک‌های غرب عقداً در تقسیم‌بندی آمفیبول‌ها از گروه کلسمی هستند (شکل ۵ ب) [۵] و بر اساس تقسیم‌بندی  $(\text{Na}+\text{K})\text{A}$  در  $\text{Al}^{\text{IV}}$  هورنبلند و در نمودار  $\text{Mg}/(\text{Mg}+\text{Fe}^{2+})\text{-TSi}$  در گسترده‌ی مگنزیوهورنبلند قرار دارند [۱۱] (شکل‌های ۵ پ، ت).

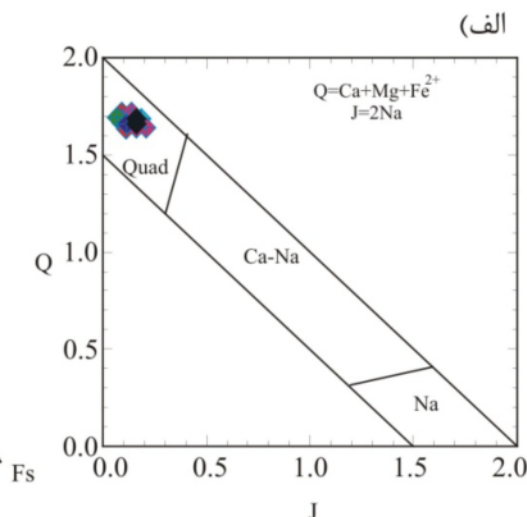
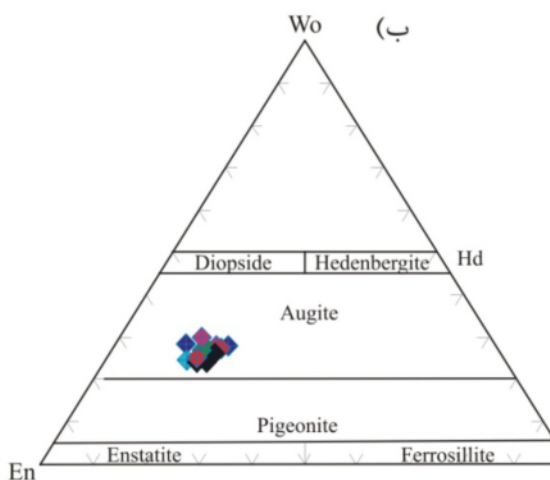
#### شیمی کانی پیروکسن

به منظور تعیین شیمی کانی پیروکسن دایک‌های غرب عقداً از ۵ بلور مختلف پیروکسن ۲۴ نقطه تجزیه شدند. ترکیب پیروکسن‌های دایک‌های غرب عقداً در نمودار Q-J در گسترده‌ی پیروکسن‌های کلسیم-منیزیم-آهن (شکل ۶، الف) قرار دارد و در نمودار Wo-En-Fs [۱۲] ترکیب شیمیایی اوژیت را در نمودار Wo<sub>0.25-0.31</sub>, Fs<sub>0.14-0.22</sub>, En<sub>0.50-0.58</sub> نشان می‌دهند (شکل ۶، ب).

#### بحث و بررسی

در این بخش شرایط فیزیکی و شیمیایی تبلور دایک‌ها در منطقه غرب عقداً با استفاده از شیمی کانی‌های بیوتیت، آمفیبول و پیروکسن بررسی می‌شود.

**دما و فشارسنجی دایک‌های غرب عقداً**  
دما و فشارسنجی دایک‌های غرب عقداً با کاربرد کانی بیوتیت کانی بیوتیت از میزان‌های مهم Ti در سنگ‌هاست و از این رو از دماسنج Ti در بیوتیت برای تعیین دمای تشکیل بیوتیت‌ها استفاده می‌شود. مقدار Ti افرون بر دما، به عواملی مانند فشار،



شکل ۶ ترکیب شیمیایی پیروکسن‌ها در (الف) نمودار J-Q و (ب) نمودار مرجع [۱۲] در گسترده‌ی اوژیت قرار دارند. رنگ‌های مختلف در این نمودار نشانگر بلورهای متفاوت کانی پیروکسن است.

جدول ۳ فشار به دست آمده بر اساس مقدار آلومینیوم موجود در بیوتیت دایک‌های غرب عقدا و دمای تبلور به دست آمده با استفاده از رابطه (۱).

نقاط	Al <sub>total</sub>	Ti	X <sub>Mg</sub>	P (Kbar) [۱۹]	T °C [۱۸]
۴۳/۱.	۲,۵۳۹	۰,۲۳۵	۰,۳۷۶	۱,۱۶۳۱۷	۵۹۵,۹۲
۴۴/۱.	۲,۴۹۷	۰,۲۹۶	۰,۴۰۴	۱,۰۳۵۹۱	۶۴۲,۲۶
۴۵/۱.	۲,۳۰۳	۰,۳۶۶	۰,۳۹۷	۰,۴۴۸۰۹	۶۷۵,۶۵
۴۶/۱.	۲,۴۷۶	۰,۴۴۹	۰,۳۷۵	۰,۹۷۲۲۸	۷۰۳,۳۴
۴۷/۱.	۲,۴۴۴	۰,۵۱۶	۰,۳۴۲	۰,۸۷۵۳۲	۷۱۹,۵۸
۴۸/۱.	۲,۵۰۶	۰,۵	۰,۴۸۴	۱,۰۶۳۱۸	۷۳۲,۲۹
۵۰/۱.	۲,۲۹۳	۰,۵۰۱	۰,۴۱۴	۰,۴۱۷۷۹	۷۲۲,۸۳
۵۱/۱.	۲,۳۲۷	۰,۴۴۱	۰,۳۸۹	۰,۵۲۰۸۱	۷۰۲,۲۹
۵۲/۱.	۲,۳۷۶	۰,۴۴۹	۰,۳۸۶	۰,۶۶۹۲۸	۷۰۴,۵۱
۵۳/۱.	۲,۵۵۳	۰,۲۳۸	۰,۳۷۶	۱,۰۵۵۹	۵۹۸,۴۲
۵۴/۱.	۲,۵۳۱	۰,۲۶۶	۰,۴۰۳	۱,۱۳۸۹۳	۶۲۲,۳۶
۵۵/۱.	۲,۴۵۷	۰,۴۸۴	۰,۳۶۲	۰,۹۱۴۷۱	۷۱۲,۵۸
متوسط	۲,۴۴۲	۰,۳۹۵	۰,۳۹۲	۰,۸۶۹	۶۷۷,۷۵

قابل استفاده است و خطای اندازه‌گیری کمتری دارد، برای تعیین فشار تشکیل آمفیبیول در دایک‌های غرب عقدا استفاده شد:

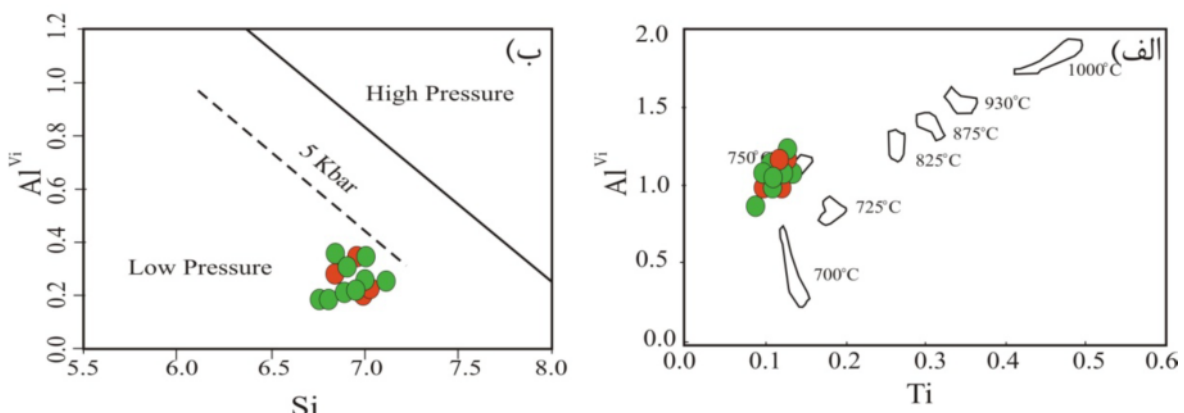
$$P (\pm 0.6 \text{ Kbar}) = 4.76 \text{ Al}^T - 3.0 \quad (\text{معادله } ۳)$$

میانگین فشارهای محاسبه شده از روش اشمیت [۲۷]، کیلوبار است (جدول ۴) [۲۸].

برآورد گریزندگی اکسیژن بر حسب آمفیبیول حضور آمفیبیول در دایک‌های غرب عقدا نشان دهنده‌ی غنی بودن ماقمای در حال تبلور از سازنده آب است. تغییر ترکیب آمفیبیول‌ها ناشی از تغییر در گریزندگی اکسیژن و فعالیت‌های سیلیس ماقمایی است. یکی از روش‌های تعیین گریزندگی اکسیژن بررسی ترکیب آمفیبیول‌هایی است که نسبت Fe/(Fe+Mg) آن‌ها بیشتر از  $0.3$  بوده و مقدار آلومینیوم چاروچهی آن‌ها نیز بیش از  $0.75$  است [۲۹]. شیمی آمفیبیول‌های دایک‌های بهرام‌تاج دارای ترکیبی مناسب برای تعیین مقدار گریزندگی اکسیژن هستند. در نمودار شکل ۸ مقدار نسبی گریزندگی اکسیژن بر اساس نسبت Al<sup>IV</sup> به Fe/Fe+Mg آمفیبیول‌ها مشخص شده است [۲۹]. بر اساس این نمودار، مقدار نسبی گریزندگی اکسیژن در زمان تبلور آمفیبیول‌های مورد بررسی بالا بوده است.

دما و فشارسنجی دایک‌های غرب عقدا با کاربرد کانی آمفیبیول با استفاده از تغییرات Ti نسبت به Al<sup>IV</sup> [۲۲, ۲۱] در آمفیبیول‌های غرب عقدا، دما حدود ۷۵۰ درجه سانتی‌گراد محاسبه شده است (شکل ۷ الف). مقدار Ti، Ca، Na و Al در ترکیب آمفیبیول تابع فشار، دما و گریزندگی اکسیژن است. کاتیون‌های Ti، Al<sup>T</sup> و Al<sup>IV</sup> نسبت به دما حساسند، به طوری که افزایش دما سبب افزایش مقدار Ti و Al<sup>IV</sup> می‌شود [۲۳]. مقدار Al<sup>VI</sup> بر خلاف Al<sup>IV</sup> متناسب با افزایش فشار افزایش می‌یابد و دما بر آن اثری ندارد. محاسبه مقدار Al<sup>T</sup> و Al<sup>VI</sup> اساس سنجش فشار با استفاده از ترکیب آمفیبیول است، زیرا مقدار Al در آمفیبیول تابع غلظت Al در ماقمای مادر نبوده بلکه تابع فشار تبلور آن است. بررسی‌های نشان می‌دهد که مقدار Al در هورنبلند با فشار تبلور رابطه خطی دارد و بر این اساس تعیین عمق جایگزینی توده امکان پذیر است [۲۴]. بر اساس نتایج فشارسنجی در نمودار تغییرات Al<sup>T</sup> نسبت به Si [۲۵]، همه آمفیبیول‌های مورد بررسی از دایک‌های غرب عقدا در گستره کم فشار (فشارهای کمتر از ۵ کیلوبار) قرار دارند (شکل ۷ ب).

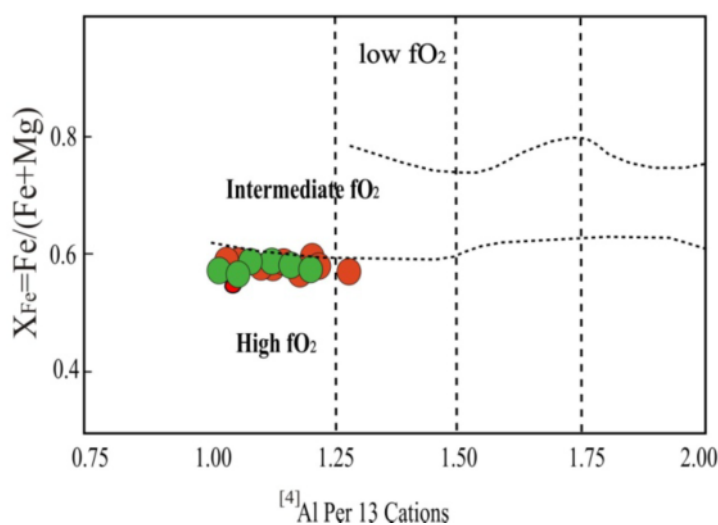
در سنگ‌ها با فشار کمتر از ۲ کیلو بار، اثر دما بر Al<sup>T</sup> چنان زیاد است که مستقل از فشار عمل می‌کند [۲۶]. بدین سبب از فشارسنجی اشمیت [۲۷] که در فشارهای کمتر از ۲ کیلوبار



شکل ۷ الف) نمودار  $\text{Al}^{\text{VI}}$  نسبت به  $\text{Ti}$  که در این نمودار دمای تبلور آمفیبول‌ها ۷۵۰ درجه سانتی‌گراد مشخص شده است و ب) نمودار  $\text{Al}^{\text{VI}}$  نسبت به  $\text{Si}$  [۲۵]، که آمفیبول‌های مورد بررسی در گستره فشار پائین قرار دارند.

جدول ۴ تعیین فشار براساس مقدار آلومینیوم موجود در آمفیبول‌های دایک‌های غرب عقداً بر پایه واسنجی‌های مختلف.

نقطه	$\text{Al}^{\text{VI}}$	Al در فشارسنج های هورنبلند						
		[۲۸]	[۲۳]	[۲۷]	$[\text{۲۹}] \text{P} = f(\text{Al}, \text{T})$			
متوسط	۲,۲۱	۲,۸۲	۳,۳۷	۷۵۰	۲,۴۰	۸۰۰	۱,۳۵	
انحراف استاندارد	۰,۳۷۶۹۷۱۹۲۸	۰,۴۴۸۲۶۶۸۵۵	۰,۴۲۴۲۰۵		۰,۳۸۲۵۲۹		۰,۳۵۴۷۴۵	
۱, ۱.	۱,۱۹	۱,۰۷	۲,۰۷	۲,۶۵	۷۵۰	۱,۷۵	۸۰۰	۰,۷۵
۲, ۱.	۱,۴۵۹	۲,۷۱	۳,۴۲	۳,۹۳	۷۵۰	۲,۹۰	۸۰۰	۱,۸۲
۳, ۱.	۱,۴۵۳	۲,۸۹	۲,۳۹	۲,۹۱	۷۵۰	۲,۸۸	۸۰۰	۱,۸۰
۴, ۱.	۱,۳۸۷	۲,۳۲	۲,۹۶	۳,۵۰	۷۵۰	۲,۵۱	۸۰۰	۱,۴۶
۵, ۱.	۱,۳۵	۲,۲۵	۲,۸۷	۳,۴۲	۷۵۰	۲,۴۳	۸۰۰	۱,۳۹
۶, ۱.	۱,۳۵۹	۲,۲۹	۲,۹۲	۳,۴۶	۷۵۰	۲,۴۷	۸۰۰	۱,۴۳
۷, ۱.	۱,۳۸۳	۲,۳۱	۲,۹۴	۳,۴۸	۷۵۰	۲,۴۹	۸۰۰	۱,۴۴
۸, ۱.	۱,۲۰۲	۱,۶۲	۲,۱۳	۲,۷۱	۷۵۰	۱,۸۰	۸۰۰	۰,۸۰
۹, ۱.	۱,۳۶۵	۲,۳۱	۲,۹۵	۳,۴۹	۷۵۰	۲,۵۰	۸۰۰	۱,۴۵
۱۰, ۱.	۱,۳۷۶	۲,۳۶	۳,۰۰	۳,۵۴	۷۵۰	۲,۵۵	۸۰۰	۱,۴۹
۱۱, ۱.	۱,۴۲۳	۲,۶۰	۳,۲۹	۳,۸۱	۷۵۰	۲,۷۹	۸۰۰	۱,۷۲
۱۲, ۱.	۱,۳۹۹	۲,۴۶	۲,۱۲	۳,۶۵	۷۵۰	۲,۶۴	۸۰۰	۱,۵۹
۱۳, ۱.	۱,۳۲۱	۲,۱۳	۲,۷۲	۳,۲۸	۷۵۰	۲,۳۱	۸۰۰	۱,۲۸
۱۴, ۱.	۱,۴۲۱	۲,۵۵	۲,۲۳	۳,۷۵	۷۵۰	۲,۷۴	۸۰۰	۱,۶۷
۱۵, ۱.	۱,۳۰۸	۲,۰۷	۲,۶۶	۳,۲۲	۷۵۰	۲,۲۵	۸۰۰	۱,۲۲
۱۶, ۱.	۱,۳۰۳	۲,۰۵	۲,۶۳	۳,۱۹	۷۵۰	۲,۲۳	۸۰۰	۱,۲۰
۱۷, ۱.	۱,۲۸۷	۱,۹۸	۲,۵۵	۳,۱۲	۷۵۰	۲,۱۶	۸۰۰	۱,۱۴
۱۸, ۱.	۱,۲۸۵	۱,۸۹	۲,۴۴	۳,۰۱	۷۵۰	۲,۰۷	۸۰۰	۱,۰۵
۱۹, ۱.	۱,۳۲۵	۲,۱۴	۲,۷۴	۳,۳۰	۷۵۰	۲,۳۳	۸۰۰	۱,۲۹
۲۰, ۱.	۱,۳۴۵	۲,۲۳	۲,۸۵	۳,۳۹	۷۵۰	۲,۴۱	۸۰۰	۱,۳۷
۲۱, ۱.	۱,۱۱۵	۱,۲۶	۱,۶۹	۲,۳۰	۷۵۰	۱,۴۳	۸۰۰	۰,۴۶
۲۲, ۱.	۱,۳۵۱	۲,۲۵	۲,۸۸	۳,۴۲	۷۵۰	۲,۴۴	۸۰۰	۱,۳۹
۲۳, ۱.	۱,۳۹۵	۲,۴۴	۳,۱۰	۳,۶۳	۷۵۰	۲,۶۳	۸۰۰	۱,۵۷
۲۴, ۱.	۱,۳۱۷	۲,۱۱	۲,۷۰	۳,۲۶	۷۵۰	۲,۲۹	۸۰۰	۱,۲۶
۲۵, ۱.	۱,۲۶۳	۱,۸۸	۲,۴۳	۳,۰۰	۷۵۰	۲,۰۶	۸۰۰	۱,۰۴
۲۶, ۱.	۱,۰۳	۳,۰۱	۲,۷۸	۴,۲۷	۷۵۰	۲,۲۱	۸۰۰	۲,۱۱
متوسط	۱,۲۳	۲,۰۲	۲,۵۸	۳,۰۹		۲,۱۹		۱,۲۳



شکل ۸ تعیین گریزندگی دایک‌های غرب عقدا با استفاده از شیمی کانی آمفیبول [۲۹].

در روش دماستنجی مرجع [۳۱] بر پایه درصد مولکولی ولاستونیت-انستاتیت-فروسیلیت، دمای تبلور کلینوپیروکسن‌ها در گستره‌ی ۱۲۰۰ تا ۱۳۰۰ درجه سانتی‌گراد قرار دارد (شکل ۱۰).

**سری ماقمایی و محیط زمین‌ساختی دایک‌های غرب عقدا با کاربرد شیمی کانی بیوتیت**  
ترکیب شیمیایی بیوتیت از آنجا که نشان‌دهنده‌ی ویژگی‌های ماقمایی مادر است [۳۲]، برای جهت شناخت ماهیت ماقمایی مادر به کار می‌رود. بر این اساس، ترکیب شیمیایی بیوتیت‌های دایک‌های غرب عقدا در نمودارهای مرجع [۳۲] ماهیت ماقمایی قلیایی را نشان می‌دهند (شکل ۱۱).

**سری ماقمایی و محیط زمین‌ساختی با کاربرد شیمی کانی کلینوپیروکسن**

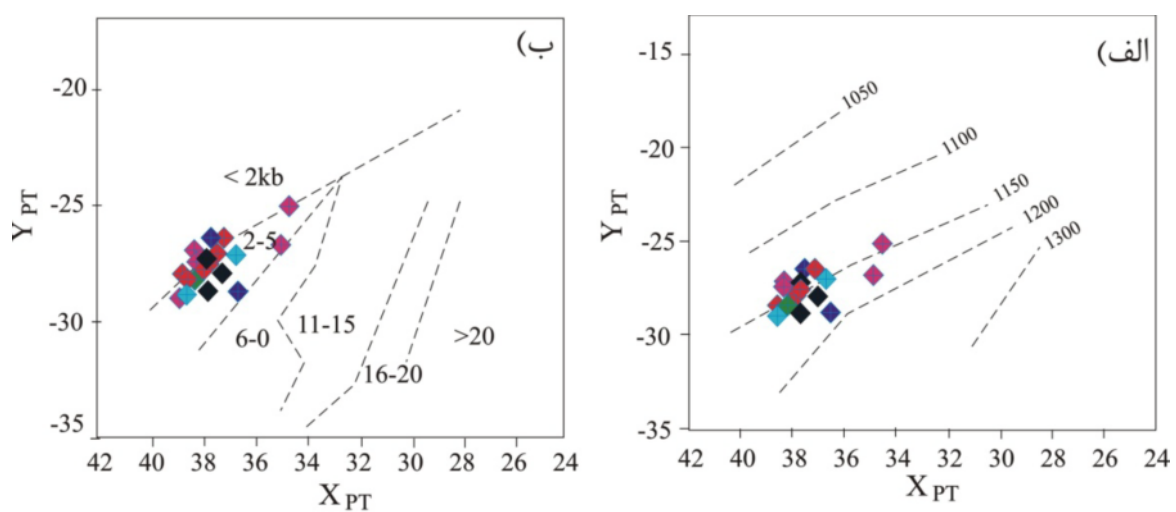
حضور عناصر Al, Si, Ca, Ti و Na در ساختار کلینوپیروکسن‌ها تا حد بسیاری به میزان قلیایی بودن ماقمایی مادر وابسته است [۳۴، ۳۳]. از این رو، ترکیب شیمی کلینوپیروکسن‌ها در ارتباط با ترکیب شیمیایی ماقمایی و محیط تشکیل ماقمایی است. در نمودار سه‌تایی MnO-TiO<sub>2</sub>-Na<sub>2</sub>O، ترکیب شیمیایی کلینوپیروکسن‌ها در گستره‌ی قلیایی‌های درون صفحه‌ای (WPA) قرار دارند. همچنین، براساس نمودارهای F<sub>1</sub> و F<sub>2</sub> [۳۵] محیط زمین‌ساختی تشکیل کلینوپیروکسن‌ها در گستره‌ی تولئیتی‌های (WPT) قرار می‌گیرند [۳۵] (شکل ۱۲).

### دما و فشارسنجی دایک‌های غرب عقدا با کاربرد کانی پیروکسن

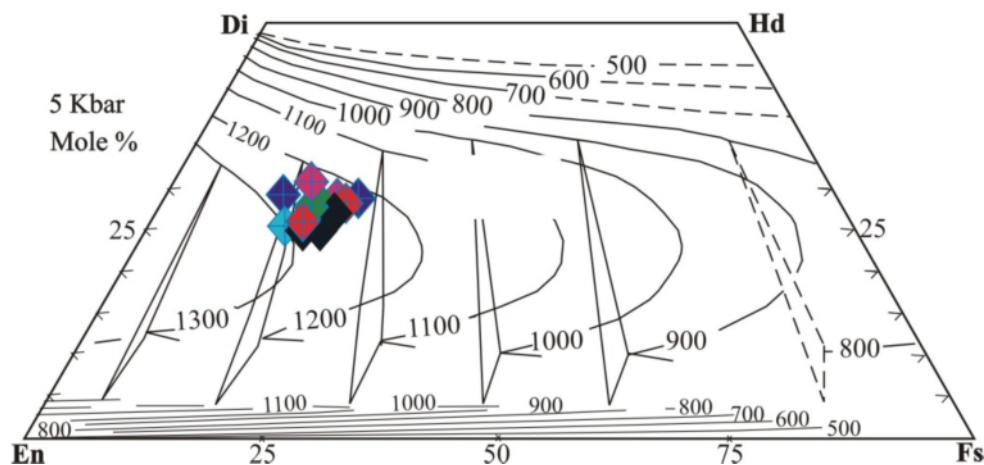
پیروکسن به عنوان یک کانی ردیاب، بازتاب کننده شرایط فیزیکی (دما و فشار) ماقمایی در زمان تبلور آن است و در سنگ‌شناسی سنگ‌های آذرین، از روابط دما‌فشارسنجی برای ارزیابی دما و فشار تبلور کانی‌ها استفاده می‌شود. از این رو، برای تعیین دما و فشار از شیمی کلینوپیروکسن‌های دایک‌های غرب عقدا از روش‌های مختلفی استفاده شده است. یک روش تعیین دما و فشار با استفاده از شاخص‌های X<sub>PT</sub> و Y<sub>PT</sub> برگرفته از مرجع [۳۰] است که در آن دما و فشار بصورت ترسیمی نمایش داده می‌شود و محورهای X و Y براساس دو شاخص X<sub>PT</sub> و Y<sub>PT</sub> به تعريف می‌شوند. همچنین محاسبه شاخص‌های X<sub>PT</sub> و Y<sub>PT</sub> به منظور تعیین موقعیت نقاط مورد بررسی شده روی نمودار روابط زیر امکان پذیر است:

$$\begin{aligned} X_{PT} &= 0.446 \text{SiO}_2 + 0.187 \times \text{TiO}_2 - 0.404 \times \text{Al}_2\text{O}_3 + \\ &0.346 \times \text{FeO}_{(\text{tot})} - 0.052 \times \text{MnO} + 0.309 \times \text{MgO} + \\ &0.431 \text{CaO} - 0.446 \text{Na}_2\text{O} \\ Y_{PT} &= -0.369 \times \text{SiO}_2 + 0.535 \times \text{TiO}_2 - 0.317 \times \text{Al}_2\text{O}_3 \\ &+ 0.323 \times \text{FeO}_{(\text{tot})} + 0.235 \times \text{MnO} - 0.516 \times \text{MgO} - 0.167 \times \text{CaO} - 0.153 \times \text{Na}_2\text{O} \end{aligned} \quad (4)$$

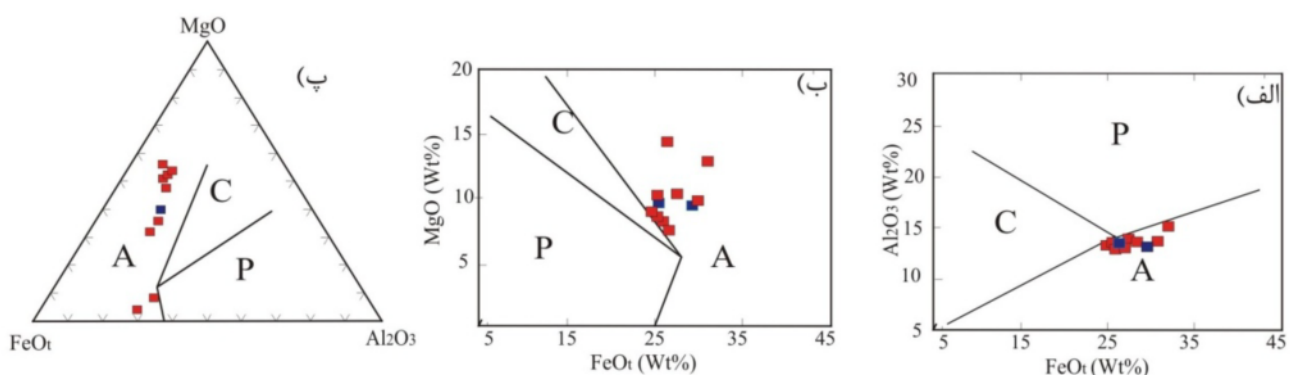
برای کلینوپیروکسن‌های دایک‌های غرب عقدا با استفاده از مقادیر محاسبه شده X<sub>PT</sub> و Y<sub>PT</sub> توسط روابط بالا، مقدار فشار تبلور در گستره کمتر از ۲ تا ۵ کیلوبار و دمای تشکیل آن‌ها ۱۱۵۰ درجه سانتی‌گراد بدست آمده است (شکل ۹).



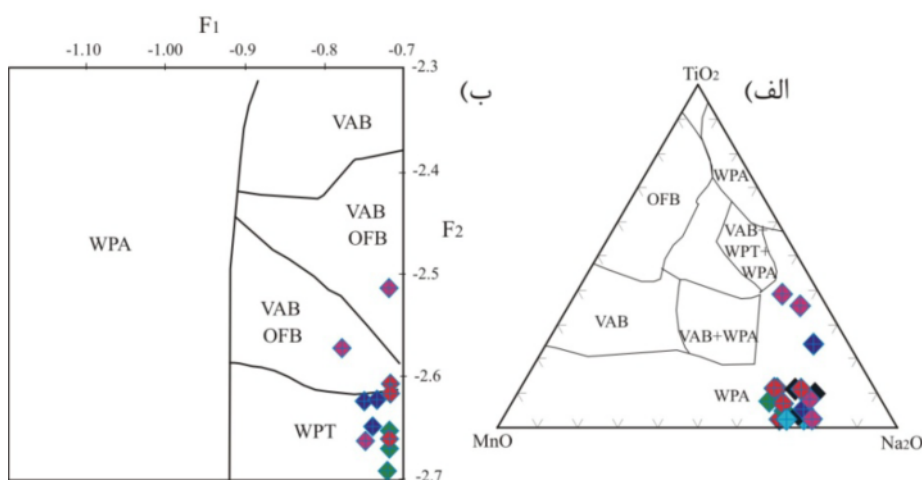
شکل ۹ (الف) دماسنجدی و (ب) فشارسنجی دایک‌های غرب عقدا با استفاده از کانی کلینوپیروکسن [۳۰].



شکل ۱۰ تعیین دمای تبلور دایک‌های غرب عقدا با استفاده از دماسنجد کانی تک کلینوپیروکسن [۳۱].



شکل ۱۱ نمودارهای تعیین سری ماقمایی بر اساس شیمی بیوتیت [۳۲]، که بیوتیت‌های مورد بررسی در گستره قلیایی قرار دارند.



شکل ۱۲ (الف) تعیین محیط زمین ساختی دایک‌های غرب عقدا با کلربرد کانی کلینوپیروکسن. همه نمونه‌ها در گستره‌ی WPT قرار دارند [۳۵].

*Mineralogist* 95 (2010) 185–187.

- [5] Deer W.A., Howie A., Zussman J., "An introduction to the rock-forming minerals", 17<sup>th</sup> ed., (1986) Longman Ltd, 528P.
- [6] Nachit H., Ibhi A., Abia E.H., Ohoud M.B., "Discrimination between primary magmatic biotites, reequilibrated biotites and neoformed biotites", *Geomaterials (Mineralogy)* Geoscience 337 (2005).
- [7] Spear J.A., "Micas in igneous rocks", In: Micas, Bailey, S.W., (ed): Mineralogical Society of America, Review in Mineralogy, 13 (1984) 299 – 356.
- [8] Stone D., "Temperature and pressure variations in suites of Archean felsic plutonic rocks, Berens river area, northwest superior province, Ontario, Canada", *The Canadian Mineralogist*, 38(2000) 455-470.
- [9] Foster M. D., "Interpretation of the composition of trioctahedral micas", United States Geological Survey Professional Paper 354-B (1960) 11-46.
- [10] Sial A.N., Ferreira V.P., Fallick A.E., Cruz E.A., "Amphibole-rich clots in calc-alkalic granitoids in the Borborema Province, Northeastern Brazil", *Journal of South American Earth* 11(5)(1998) 457-472.
- [11] Leake B.E., Woolley A.R., Arps C.E.S., Birch W.D., Gilbert M.C., Grice J.D., Hawthorne F.C., Kato A., Kisch H.J., Krivovichev V.G., Linthout K., Laird J., Mandarino J., Maresch W.V., Nickel E.H., Rock N.M.S., Schumacher J.C., Smith D.C.,

#### برداشت

با بررسی شیمی کانی‌های بیوتیت، آمفیبول و پیروکسن در دایک‌های دیابازی غرب عقدا در این پژوهش مشخص شد که این دایک‌ها در یک محیط کششی درون قاره‌ای با ماهیت ماقمای قلیایی ایجاد شده‌اند که گریزندگی ماقما طی تبلور بالا بوده است. دمای تبلور بیوتیت و آمفیبول حدود ۷۵۰ درجه‌ی سانتی‌گراد و دمای تبلور پیروکسن ۱۱۵۰ درجه‌ی سانتی‌گراد بوده و فشار کمتر از ۵ کیلوبار است.

#### قدرتانی

این پژوهش در راستای کارهای پژوهشی شرکت کاوش فن آور مانا و با حمایت مالی آن انجام شده است که نویسنده‌اند به این وسیله از حمایت‌های مادی و معنوی این شرکت تشکر می‌نمایند.

#### مراجع

- [1] Gholizadeh K., Rasa I., Yazdi M., Boni M., Mohamadi M., "Mineralogy of Zn-non sulfides (calamine) Bahramtaj zinc and lead deposit", Thirty-fifth National Geosciences conference, Feb 2017.
- [2] Mahabadi S.A., Foudazi M., "Geological map of Aghda (1/100000)", Geological survey of Iran (2007).
- [3] Stocklin J., "Structural history and tectonics of Iran: a review". AAPG Bull 25(1968) 1229-1258.
- [4] Whitney D.L., Evans B.W., "Abbreviations for names of rock-forming minerals", *American*

- barometer", American Mineralogist (1995) 80: 549-559.*
- [22] Helz R., *Phase reactions of basalts in their melting range at  $P\text{H}_2\text{O}=5\text{kb}$ , Part II, Melt composition*, Journal of Petrology 17(1993) 139-193.
- [23] Hammarstrom, J.M., Zen, E., *"Aluminum in hornblende: An empirical igneous geobarometer"*, American Mineralogist (1986) 71: 1297-1331.
- [24] Vyhnal C.R., McSween, H.Y., Speer, J.A., *Hornblende Chemistry in Southern Appalachian Granitoids: implications for aluminum hornblende thermo barometry and magmatic epidote stability*, American Mineralogist 76(1991) 176-188.
- [25] Raase P., *"Al and Ti contents of hornblende, indicators of pressure and temperature of regional metamorphism"*, Contributions to Mineralogy and Petrology 45(1974) 231-236.
- [26] Hollister L.S., Grissom G.C., Peters E.K., Stowell H.H., Sisson V.B., *Confirmation of the empirical correlation of Al in hornblende with pressure of solidification of clac-alkaline plutons*, American Mineralogist 72(1987) 231-239.
- [27] Schmidt M.W., *"Amphibole composition in tonalite as a function of pressure: an experimental calibration of the Al in hornblende barometer"*, Contributions to Mineralogy and Petrology 110(1992) 304-310.
- [28] Johnson M.C., Rutherford M.J., *"Experimental calibration of the aluminum-in-hornblende geobarometer with application to Long Valley Caldera (California) volcanic rocks"*, Geology 17(1989) 837-841.
- [29] Anderson J.L., Smith, D.R., *"The effects of temperature and  $f\text{O}_2$  on the Al-in-hornblende barometer"*, American Mineralogist 80(1995) 549-559
- [30] Soesoo A., *A multivariate statistical analysis of clinopyroxene composition: empirical coordinates for the crystallisation PT-estimations*, Geological Society of Sweden (Geologiska Foreningen) 119 (1997) 55-60.
- Stephenson N.C.N., Ungaretti L., Whitaker E.J.W., Youzhi G. *Nomenclature of amphiboles: report of the Subcommittee on Amphiboles of the International Mineralogical Association Commission on New Minerals and Mineral Names* "Mineralogical Magazine (1997) 61 295-321.
- [12] Morimoto N., *Nomenclature of pyroxenes*, Fortschr mineral 66 (1988) 237-252.
- [13] Dymek R.F., *"Titanium, aluminum and interlayer cation substitutions in biotite from high-grade gneisses West Greenland"*, American Mineralogist 68(1983) 880-889.
- [14] Henry D.J., Guidotti C.V., *"Ti in biotite from metapelitic rocks: Temperature effects, crystallographic controls and petrologic applications"*, American Mineralogist 87 (2002) 375-382.
- [15] Arima M., Edgar A.D., *"Substitution mechanisms and solubility of titanium in phlogopites from rocks of probable mantle origin"*, Contributions to Mineralogy and Petrology 77(1981) 288-295.
- [16] Forbes W.C., Flower M.F.J., *"Phase relations of titan-phlogopite,  $\text{K}_2\text{Mg}_4\text{TiAl}_2\text{Si}_6\text{O}_{20}(\text{OH})_4$ : A refractory phase in the upper mantle?"*, Earth and Planetary Science Letters 22 (1974) 60-66.
- [17] Tronnes R.G., Edgar A.D., Arima M., *"A high pressure-high temperature study of  $\text{TiO}_2$  solubility in Mg-rich phlogopite: Implications to phlogopite chemistry"*, Geochimica et Cosmochimica Acta 49(1985) 2323-2329.
- [18] Robert J.L., Sassi F.P., Takeda H., Weiss Z., Wones D.R., *"Nomenclature of the micas"*, Canadian Mineralogist 36(3) (1998) 905-912.
- [19] Henry Darrell J., Charles V. Guidotti, Jennifer A. Thomson. *"The Ti-saturation surface for low-to-medium pressure metapelitic biotites: Implications for geothermometry and Ti-substitution mechanisms"*, American Mineralogist 90 (2005) 316-328.
- [20] Uchida E., Endo S., Makino M., *"Relationship between solidification depth of granitic rocks and formation of hydrothermal ore deposits"*, Resource Geology 57 (2007) 47-56.
- [21] Anderson J. L., Smith D. R., *"The effects of temperature and  $f\text{O}_2$  on the Al-inhornblende*

- [34] Leterrier J., Maury R.C., Thonon P., Girard D., Marchal M., *Clinopyroxene composition as a method of identification of the magmatic affinities of paleo-volcanic series*, Earth and Planetary Science Letters 59 (1982) 139-154.
- [35] Nisbet E. G., Pearce J.A., *Clinopyroxene composition in mafic lavas from different tectonic settings*, Contributions to Mineralogy and Petrology 63 (1977) 149–160.
- [31] Lindsley D.H., *Pyroxene thermometry* , American Mineralogist 68 (1983) 477-493.
- [32] Abdel-Rahman A.M., "Nature of biotites from alkaline, calc-alkaline and peraluminous magmas", Journal of Petrology 35(2) (1994) 525-541.
- [33] Le Base M.J., *The role of aluminum in igneous clinopyroxenes with relation to their Parentage* , American Journal of Science 260 (1962) 267-288.